

FIG. 1 (PRIOR ART)

SCANNED, # 14

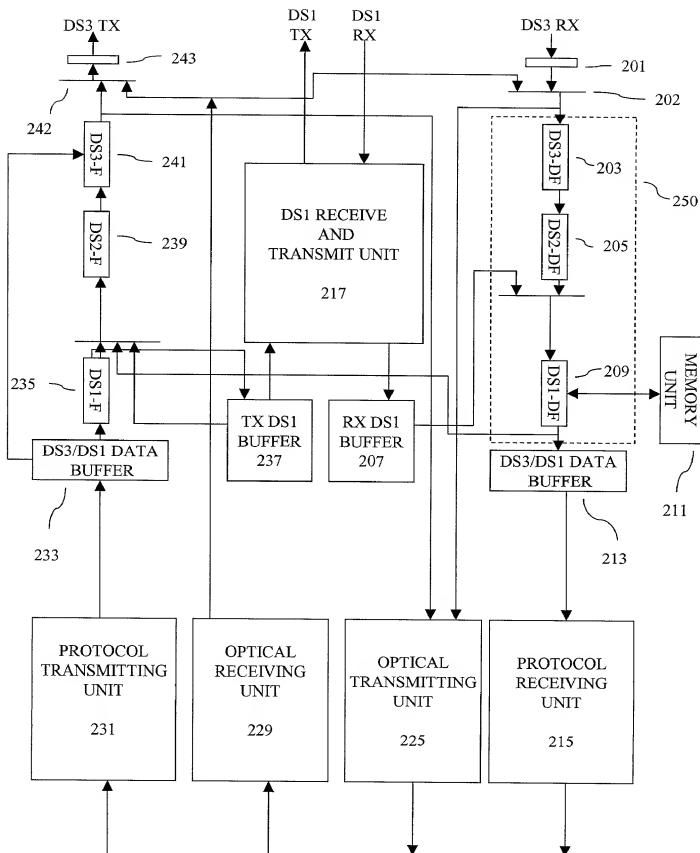
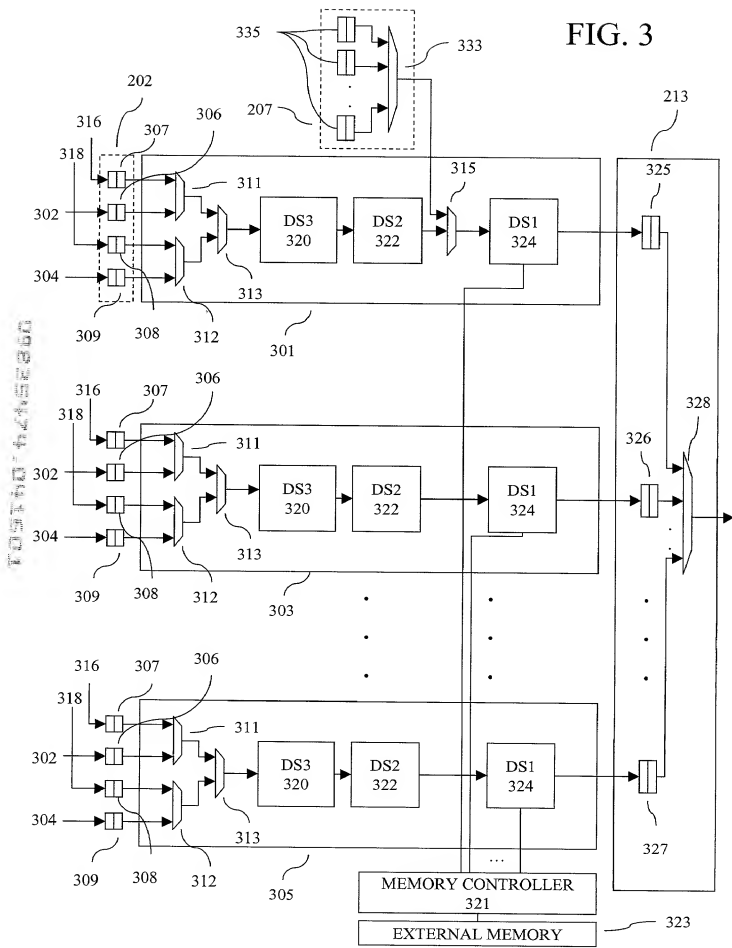


FIG. 2

FIG. 3



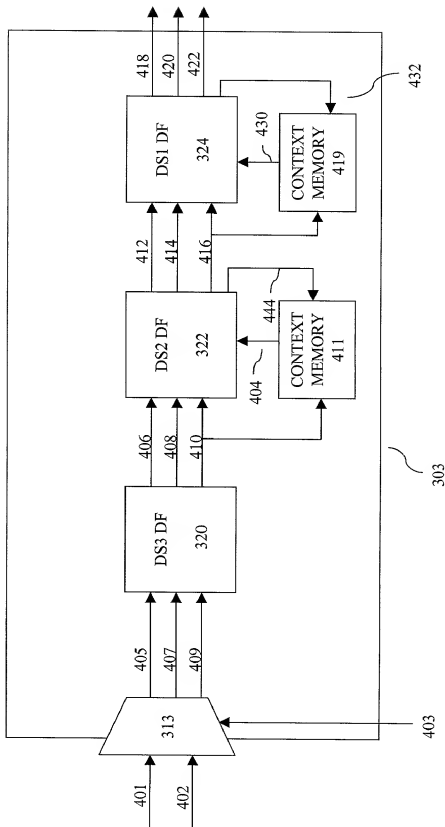
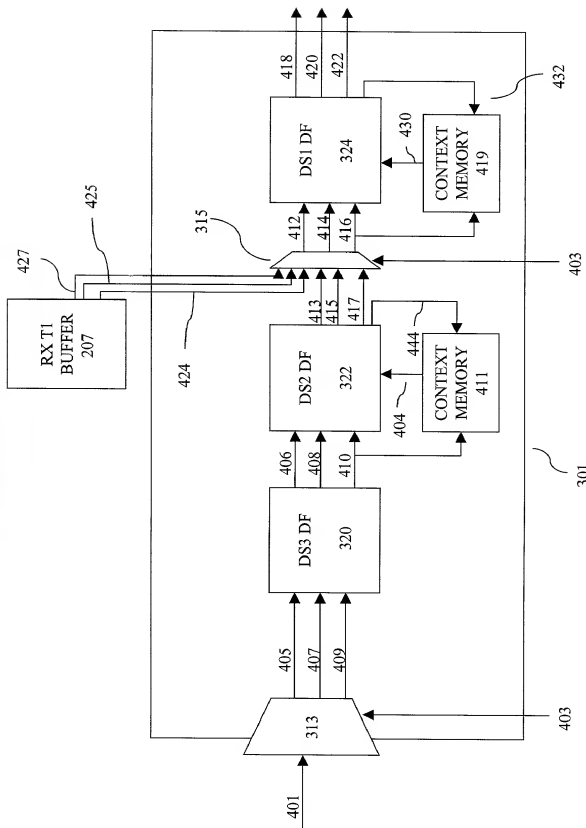


FIG. 4A

FIG. 4B



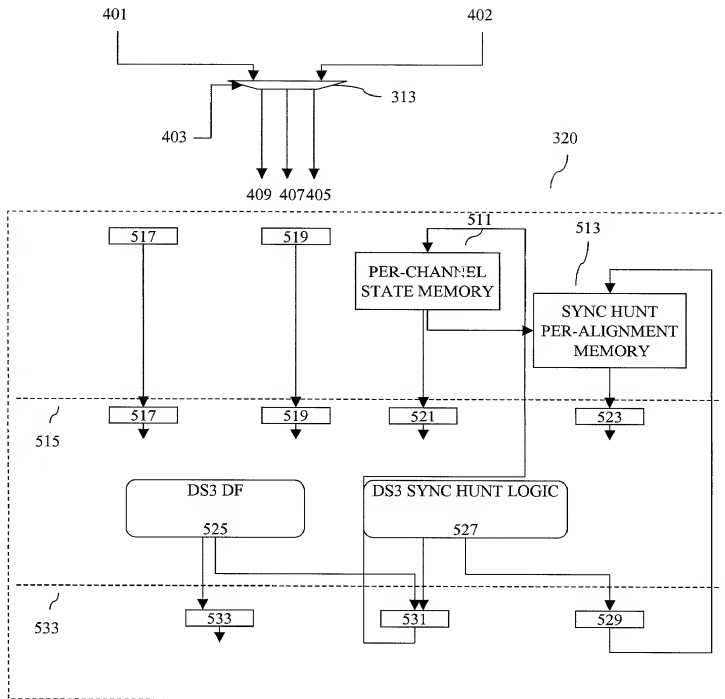


FIG. 5

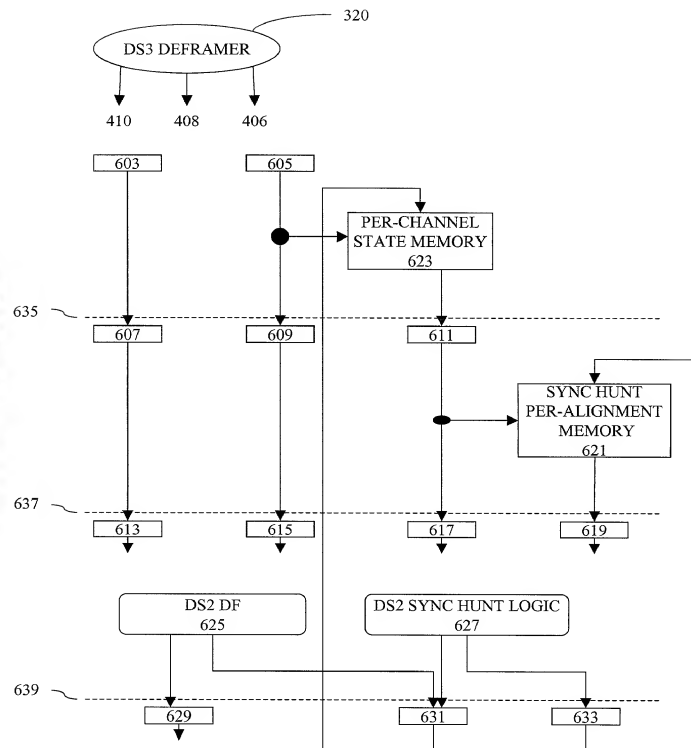


FIG. 6

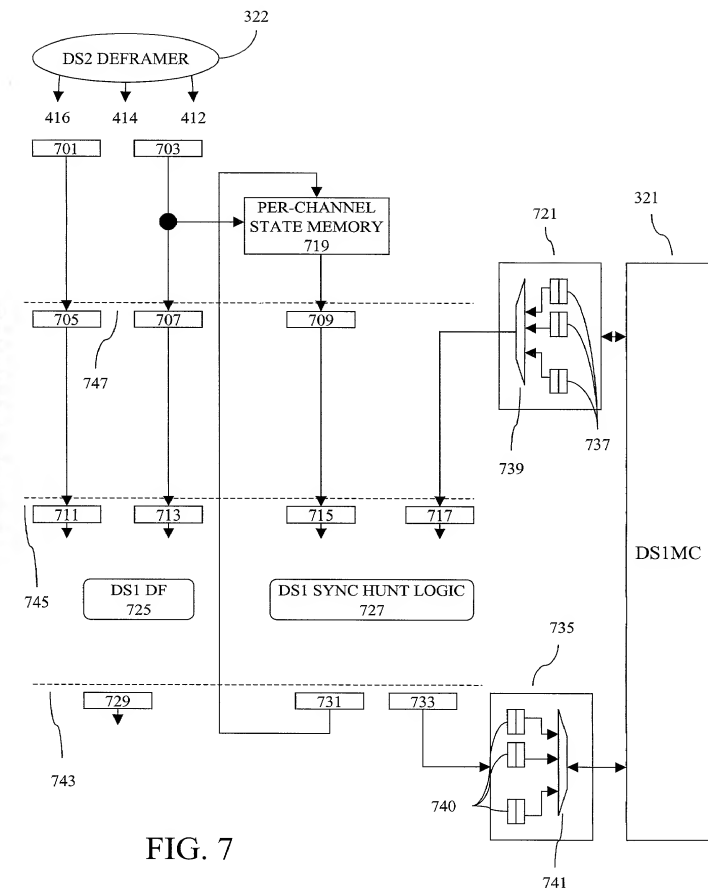


FIG. 8A

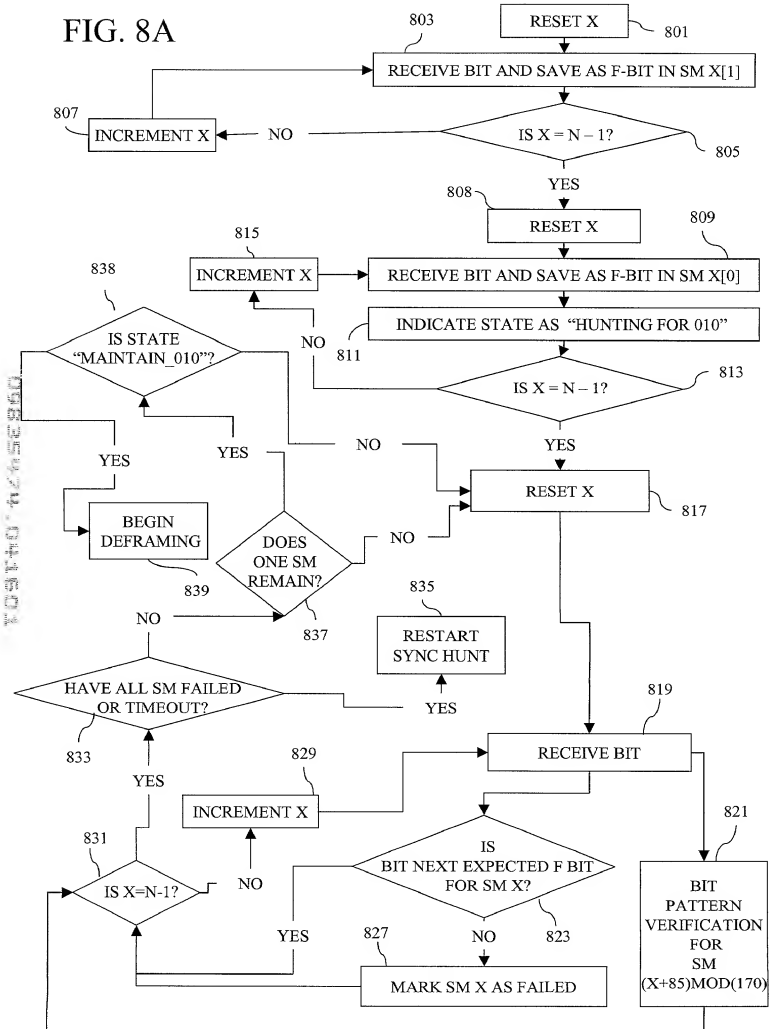
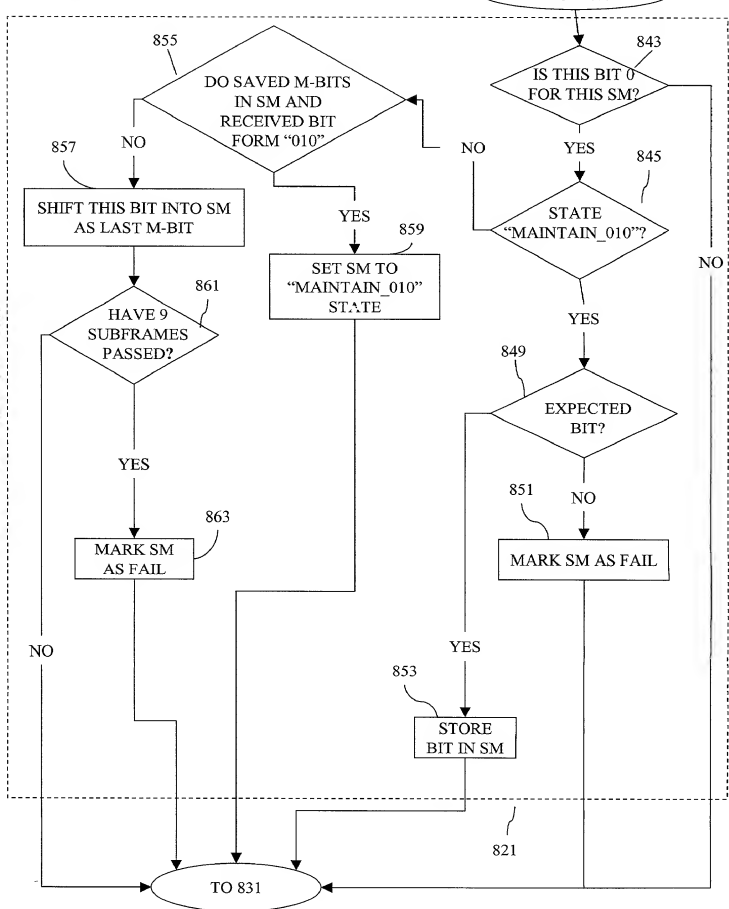


FIG. 8B



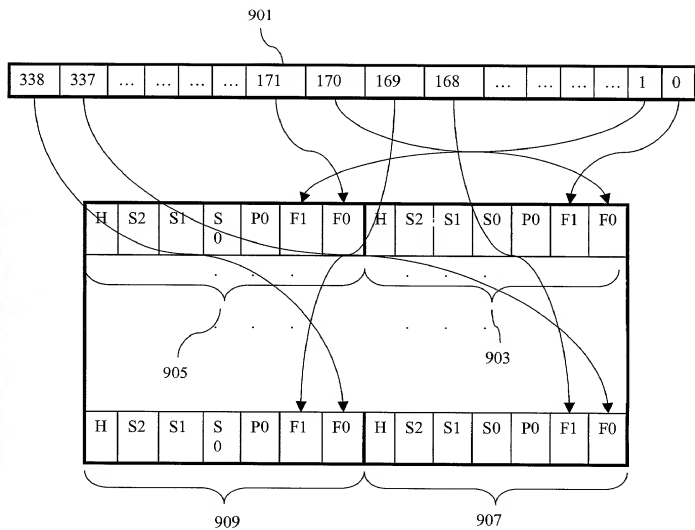


FIG. 9

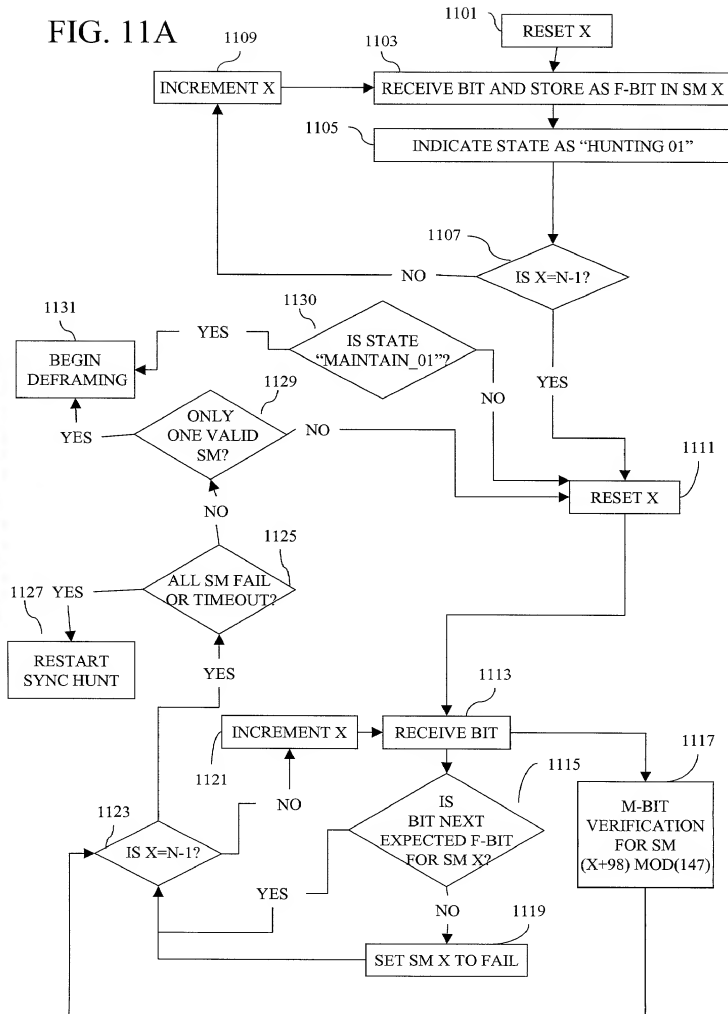
SM 84	SM 169
.	.
.	.
.	.
.	.

SM 1	SM 86
SM 0	SM 85

↓ ↓

FIG. 10

FIG. 11A



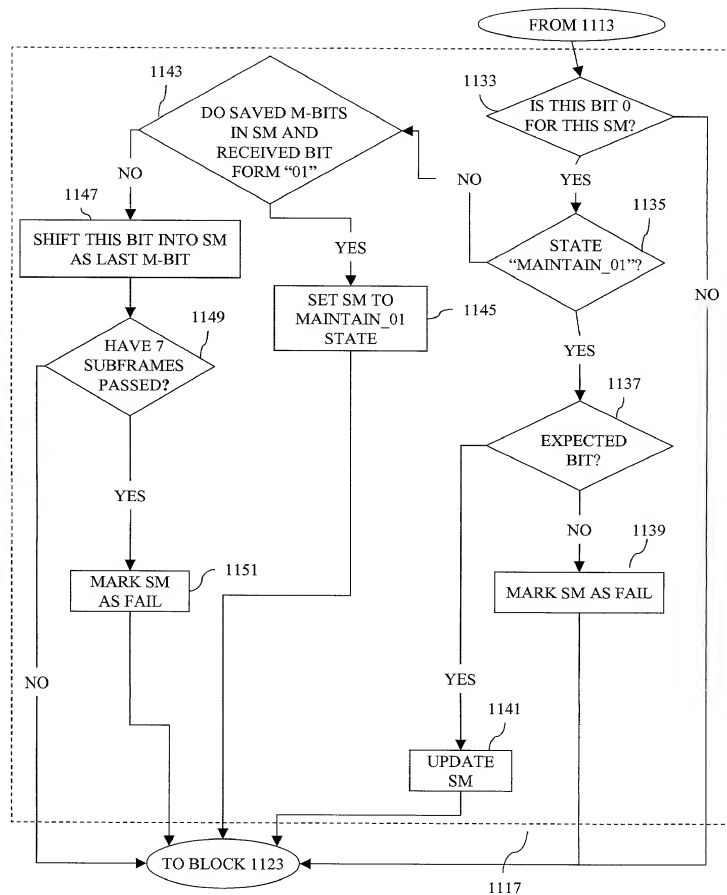


FIG. 11B

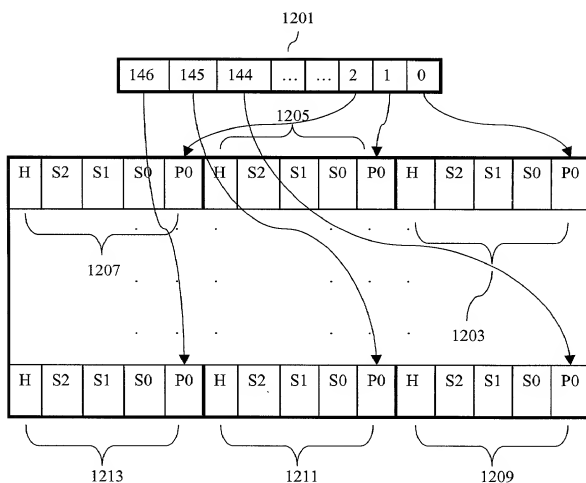


FIG. 12

SM 48	SM 98	SM 146
.	.	.
.	.	.
.	.	.
.	.	.
SM 1	SM 50	SM 99
SM 0	SM 49	SM 98

↓ ↓ ↓

FIG. 13

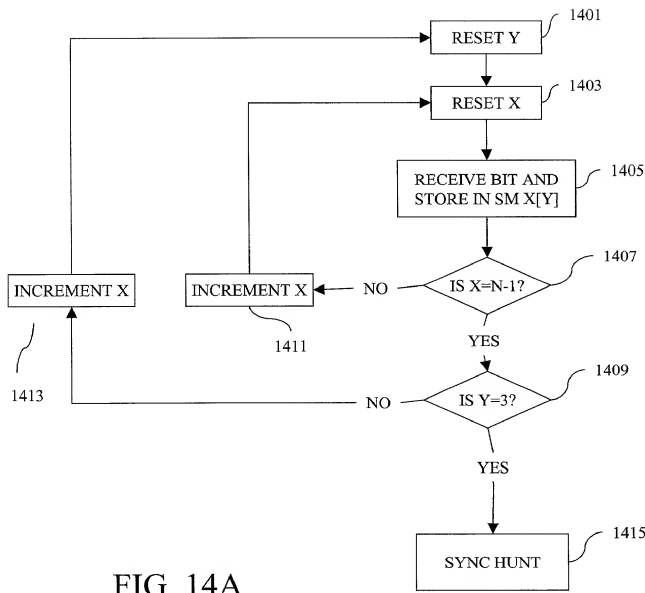
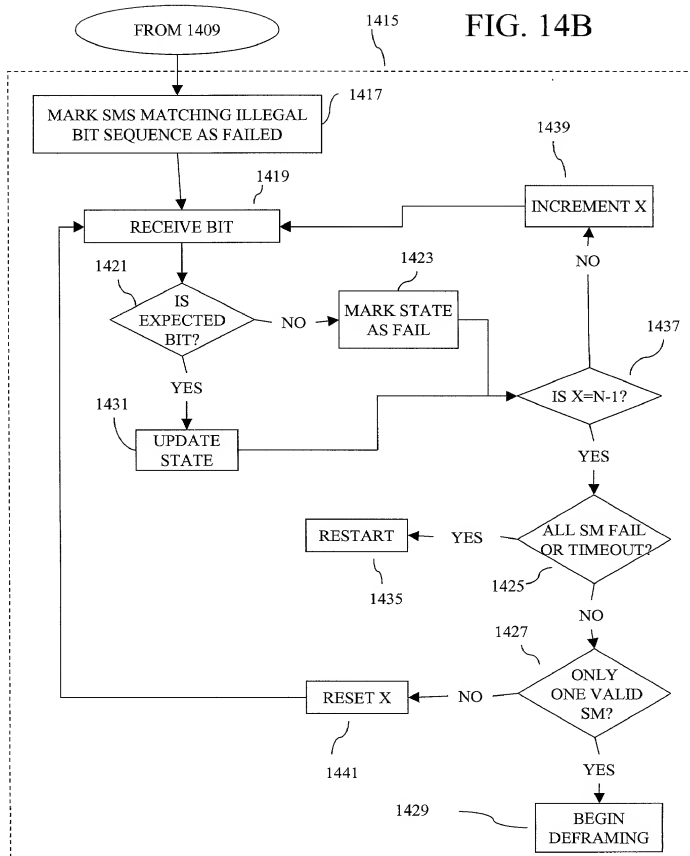


FIG. 14A

FIG. 14B



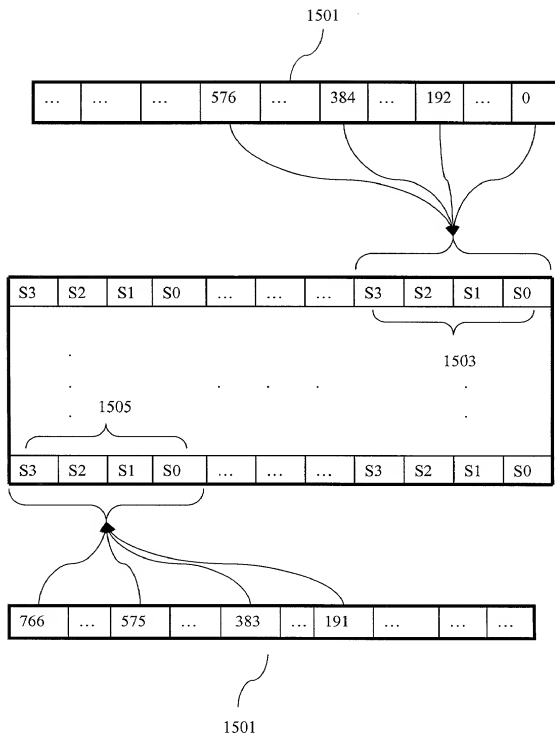
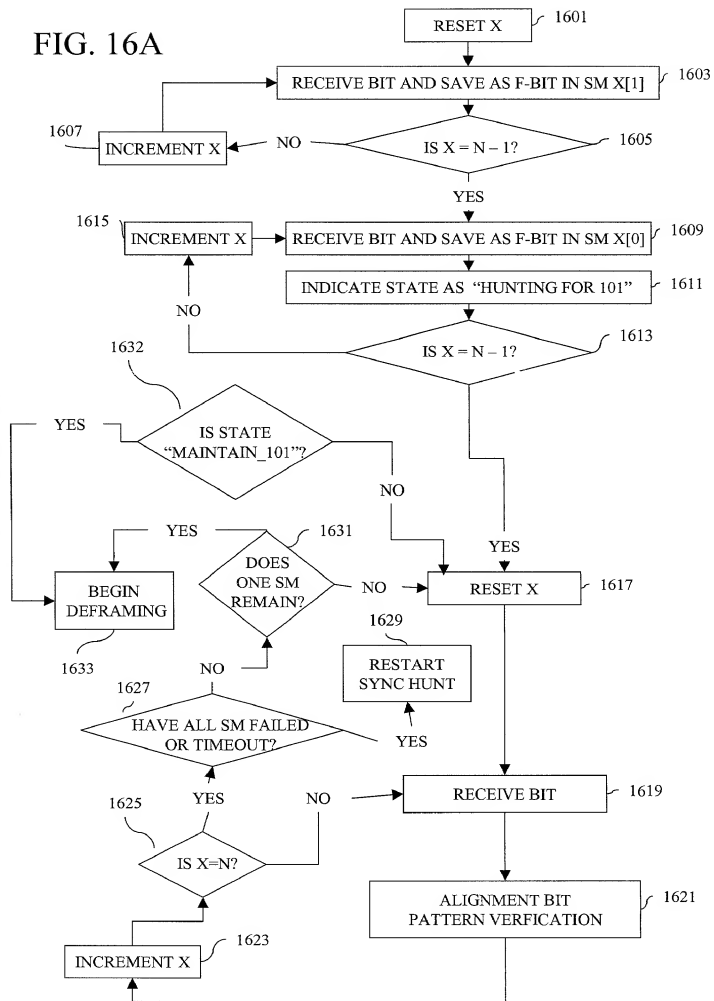


FIG. 15

FIG. 16A



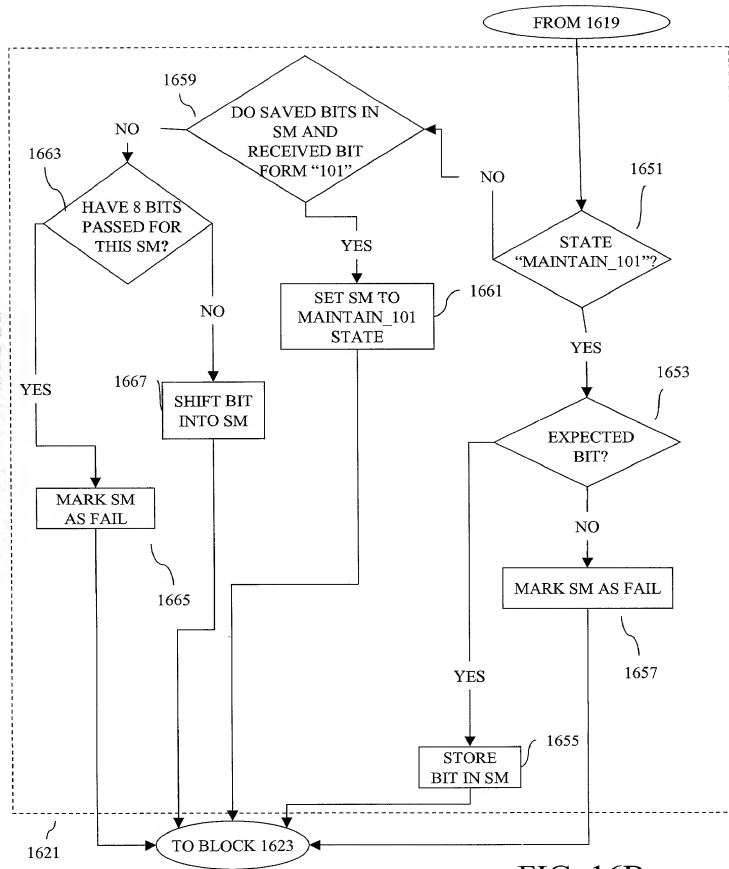


FIG. 16B

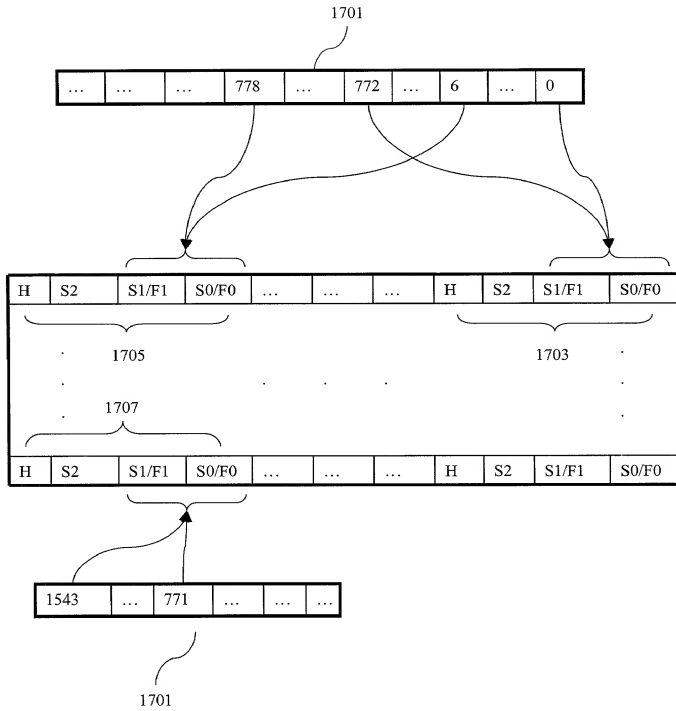


FIG. 17

S763	S764	S765	S766	S767	S768	S769
.
S7	S8	S9	S10	S11	S12	S13
S0	S1	S2	S3	S4	S5	S6
.
S763	S764	S765	S766	S767	S768	S769
.
S7	S8	S9	S10	S11	S12	S13
S0	S1	S2	S3	S4	S5	S6

FIG. 18

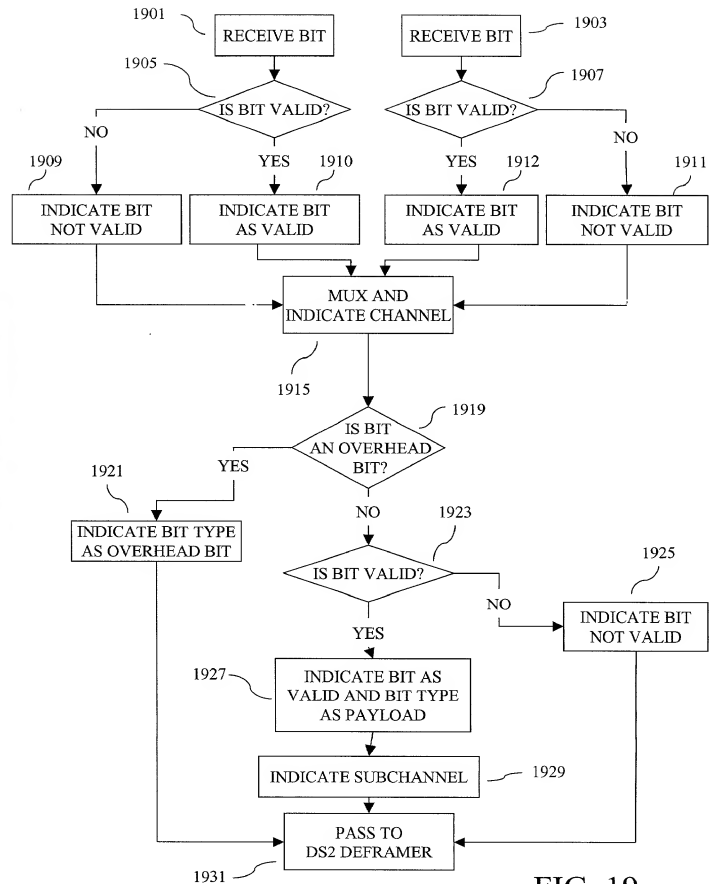


FIG. 19

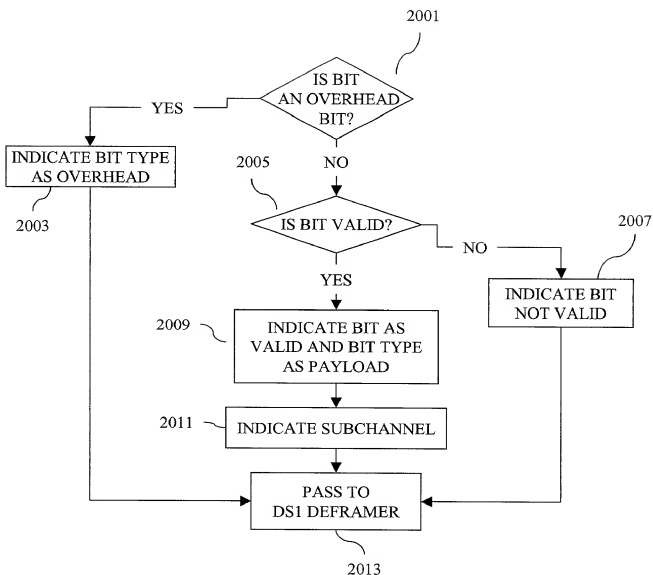


FIG. 20

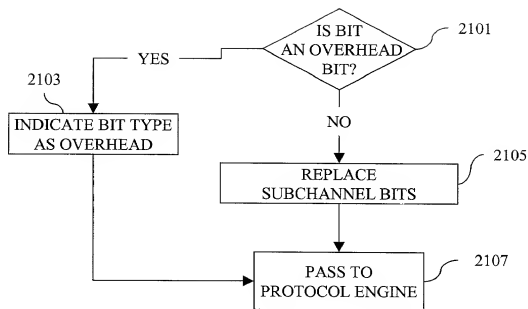


FIG. 21

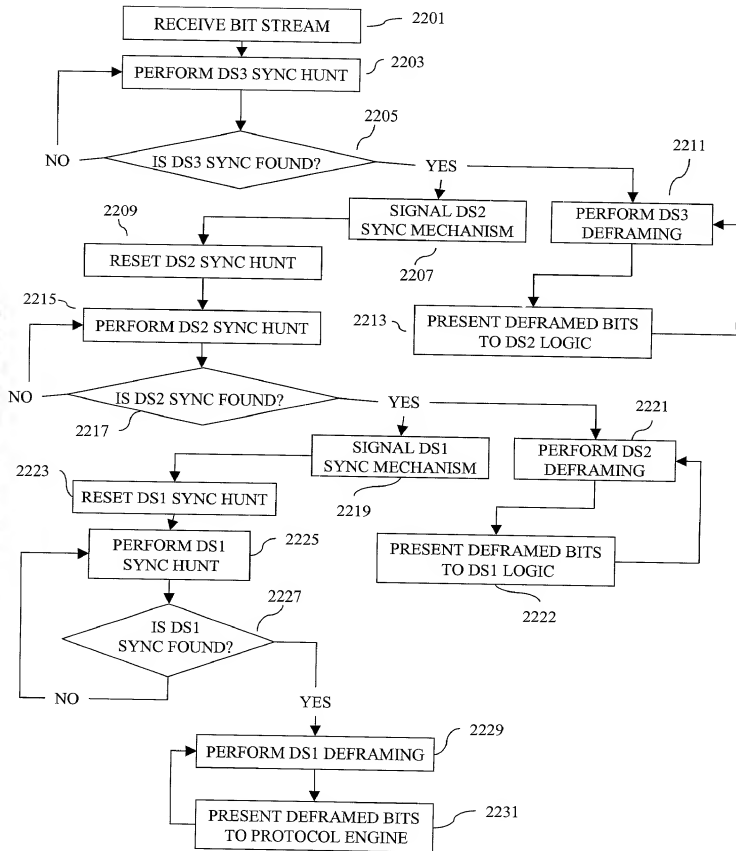


FIG. 22